

# Uma Implementação Distribuída em Névoa do Algoritmo de Detecção de Novidade em Fluxos de Dados MINAS

---

Luís Henrique Puhl de Souza

05 Julho 2021

Universidade Federal de São Carlos  
Centro de Ciências Exatas e de Tecnologia  
Departamento de Computação  
Programa de Pós-Graduação em Ciência da Computação

Orientador: *Prof. Dr. Hermes Senger*

Obrigado CNPq pelo suporte financeiro (contrato 167345/2018-4).

1. Introdução
2. Estado da Arte e Trabalhos Relacionados
3. Proposta
4. Resultados
5. Conclusão

# Introdução

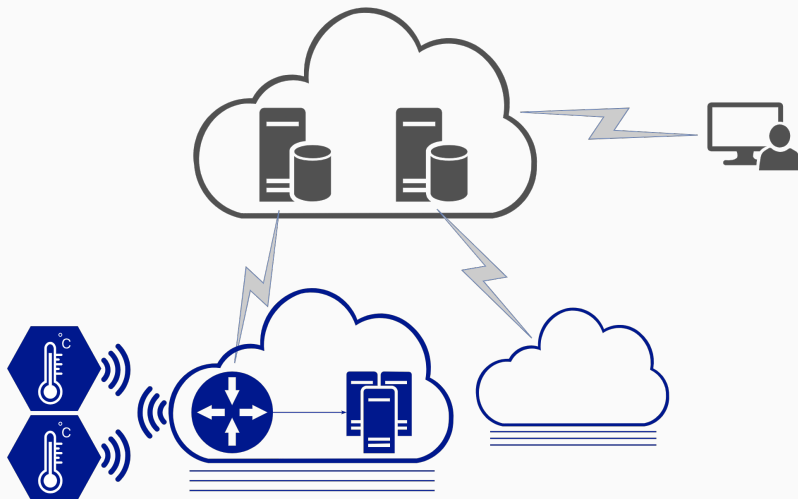
---

## Contexto

- Crescimento do número de dispositivos IoT e riscos associados;
  - Heterogeneidade de dispositivos;
  - Falta de atualizações de *software*;
  - Exemplo: *Botnet* mirai, infectando cameras e roteadores, gerou 620 Gb/s (KAMBOURAKIS; KOLIAS; STAVROU, 2017).
- Detecção de intrusão em redes:
  - detecção por assinatura *versus* anomalia;
  - ambiente de névoa e redes IoT.

## Proposta

- Um sistema para detecção de intrusão em Redes IoT implementando em névoa;
- A hipótese do trabalho é que o algoritmo MINAS pode ser distribuído em névoa reduzindo a latência sem redução na qualidade de classificação.



**Figura 1:** Visão geral de IoT, Névoa e Nuvem.

**Fonte:** O autor.

## Ambientes de computação Distribuída

- **Computação em Nuvem** (*Cloud Computing*) é um modelo que permite acesso conveniente a recursos computacionais compartilhados (MELL; GRANCE, 2012).  
**Características:** Auto-serviço sob demanda, Amplo acesso à rede, Agrupamento de recursos, Rápida elasticidade, Serviço mensurado;
- **Computação de Borda** (*Edge Computing*) refere-se a qualquer recurso computacional entre os dispositivos de borda e centro de dados hospedados em nuvem (SHI et al., 2016).
- **Computação em Névoa** (*Fog Computing*) é uma arquitetura horizontal a nível de sistema que distribui funções de computação, armazenamento, controle e rede próximos aos usuários no espaço contínuo nuvem-coisa (IEEE Communications Society, 2018).  
**Características:** Mobilidade, Heterogeneidade, Baixa Latência, Distribuição geográfica, Alto número de nós, Interoperabilidade e federação, Uso de fluxo de dados e aplicações em tempo real.

## Definição de Fluxo de Dados

Um fluxo de dados (*Data Stream*) é uma sequência massiva possivelmente ilimitada de exemplos multi-dimensionais  $x_1, x_2, \dots, x_n, \dots$  recebidos em instantes associados  $t_1, t_2, \dots, t_n, \dots$  (AGGARWAL et al., 2003).

## Métodos Detecção de Novidade

Métodos Detecção de Novidade (*Novelty Detection*) lidam com o reconhecimento e classificação de exemplos em padrões que diferem de padrões anteriores (GAMA; RODRIGUES, 2010).

- Evolução de Conceito (*Concept Evolution*): surgimento de um conceito durante o fluxo;
- Mudança de Conceito (*Concept Drift*, deriva ou desvio): modificação da distribuição de um padrão conhecido. A modificação pode ser repentina, incremental ou recorrente;
- Ruído e *Outliers*: que não pertencem a um conceito ou pertencem a um conceito porém estão fora da distribuição conhecida.

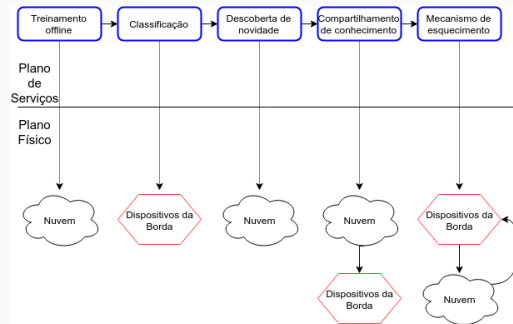
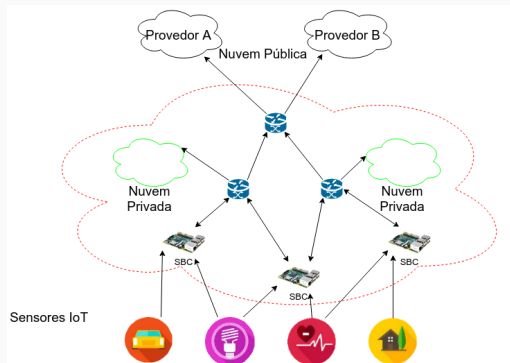
## **Estado da Arte e Trabalhos Relacionados**

---



## Sistemas de detecção de intrusão em redes

- Ferramenta BigFlow (VIEGAS et al., 2019):
  - + Integração da extração dos descritores de fluxo à emissão de alarmes;
  - + Capacidade de tratamento de grandes volumes;
  - Atualização semanal com avaliação de um especialista;
  - Execução somente em nuvem.
- Ferramenta CATRACA (LOPEZ, 2018; SANZ; LOPEZ, 2018):
  - + Divisão em camadas alocadas em nuvem e névoa;
  - + Modelo de decisão baseado em árvore de decisão;
  - Extração dos descritores de fluxo é feita em névoa, classificação e detecção é feita em nuvem.
- Arquitetura IDSA-IoT (CASSALES et al., 2019):
  - + Avaliação do algoritmo MINAS, ECSMiner e AnyNovel;
  - + Distribuição das tarefas em nuvem e névoa focada em IoT;
  - Implementação e detalhamento da arquitetura em aberto.



**Figura 2:** Distribuição de serviços da arquitetura IDSA-IoT.

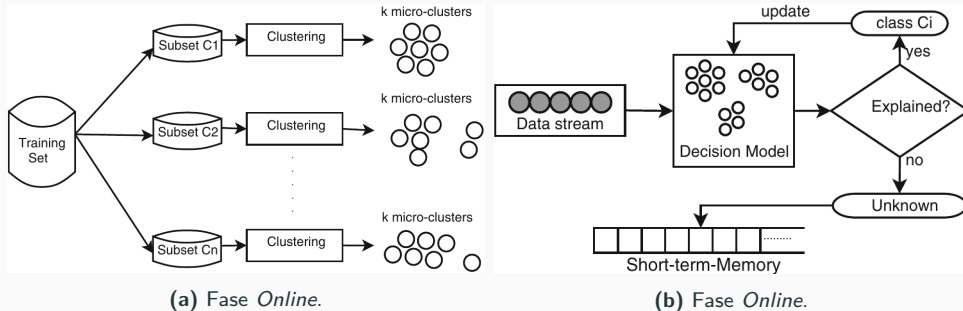
**Fonte:** Cassales et al. (2019).

# Proposta

---

## O algoritmo MINAS

- Análise no espaço  $\mathbb{R}^d$ ;
- Aprendizado *Offline-Online*;
- Classificação com *Clusters* e distância euclidiana;

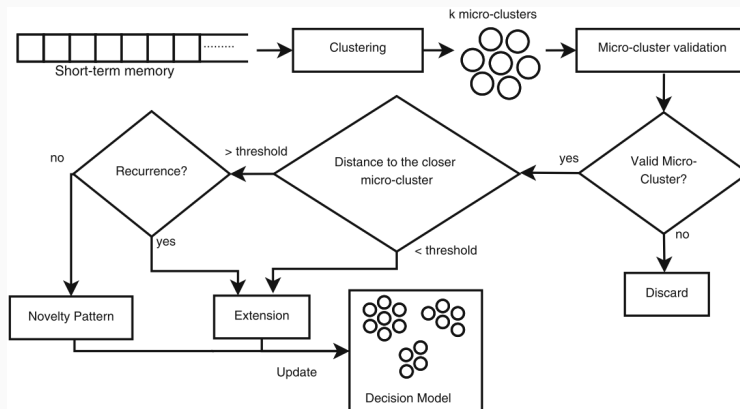


**Figura 3:** Visão geral do algoritmo MINAS.

Fonte: Faria, Carvalho e Gama (2016).

## O algoritmo MINAS

- Agrupamento para identificação de novos padrões, tratando recorrência, extensão e novidade;



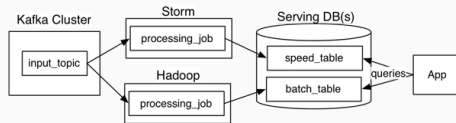
**Figura 4:** Visão da Detecção de Novidade do algoritmo MINAS.

Fonte: Faria, Carvalho e Gama (2016).

```
1 Função MinasOnline(Modelo, fluxoEntrada, fluxoSaída, janelaLimpeza, gatilhoDetecçãoNov):
2   Desconhecidos  $\leftarrow \emptyset$ ; ModeloAntigo  $\leftarrow \emptyset$ ; últimaLimpeza  $\leftarrow 0$ ; proximaNovidade  $\leftarrow 0$ ;
3   para cada exemploi  $\in$  fluxoEntrada faça
4     maisPróximo  $\leftarrow$  clusterMaisPróximo (exemplo, Modelo);
5     se maisPróximo.distância < maisPróximo.cluster.raio então
6       exemplo.rótulo  $\leftarrow$  maisPróximo.cluster.rótulo;
7       maisPróximo.cluster.últimoUso  $\leftarrow i$ ;
8     senão
9       exemplo.rótulo  $\leftarrow$  “desconhecido”;
10    Desconhecidos  $\leftarrow$  Desconhecidos  $\cup$  exemplo;
11    se  $| \text{Desconhecidos} | \geq$  gatilhoDetecçãoNov então
12      Modelo  $\leftarrow$  Modelo  $\cup$  DetecçãoNovidade (Modelo  $\cup$  ModeloAntigo, *Desconhecidos);
13    se  $i > ( \text{últimaLimpeza} + \text{janelaLimpeza} )$  então
14      Modelo  $\leftarrow$  moveModeloAntigo (Modelo, *ModeloAntigo, últimaLimpeza);
15      Desconhecidos  $\leftarrow$  removeExemplosAntigos (Desconhecidos, últimaLimpeza);
16      últimaLimpeza  $\leftarrow i$ ;
17    fluxoSaída.adicione(exemplo);
```

**Algoritmo 1:** Interpretação do algoritmo MINAS *online* (FARIA; CARVALHO; GAMA, 2016).

- Arquiteturas *Lambda* e *Kappa*;



**Figura 5:** Arquitetura *Lambda* com Kafka, Storm, Hadoop, SGBD tradicional e aplicação consumidora.

**Fonte:** Kreps (2014).

- Mineração de Dados:
  - *MapReduce* e *Apache Hadoop*;
  - *Apache Spark* com *Resilient Distributed Dataset - RDD*;
- Mineração de Fluxo de Dados:
  - *Apache Spark Streaming* com estratégia de *micro-batching*;
  - *Apache Storm*;
  - *Apache Flink*;
- Não especializadas em fluxo de dados:
  - Não-plataforma (construção dos mecanismos de envio e recebimento);
  - Interface de Troca de Mensagens - *MPI*;

## Pergunta de Pesquisa

- É viável paralelizar e distribuir o algoritmo MINAS seguindo a arquitetura IDSA-IoT?
- Quais são os efeitos na qualidade de classificação se distribuir o algoritmo MINAS?



## Proposta da Pesquisa

- Implementar uma versão distribuída do algoritmo MINAS conforme arquitetura IDSA-IoT;
- Paralelizar o método de classificação do algoritmo MINAS;
- Avaliar a implementação quanto à viabilidade e qualidade.

## Método

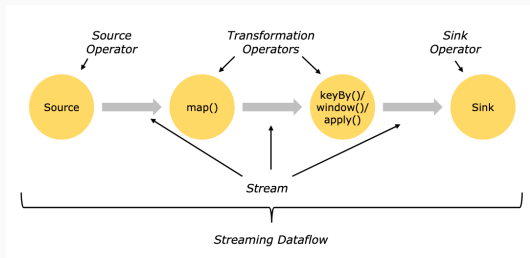
- Plataforma de processamento distribuído;
- Estratégias de implementação da arquitetura IDSA-IoT;
- Experimentação com a distribuição do algoritmo MINAS em ambiente específico;
- Métricas de qualidade de classificação para validação da implementação;
- Métricas de escalabilidade.

## Primeira Implementação com *Python* e *Apache Kafka*

- *Python* é acessível e fornece bibliotecas diversas;
- *Apache Kafka* é um sistema de mensagens distribuído;
  - Interface de programação com cliente produtor e consumidor;
  - Mensagens organizadas em tópicos que são distribuídos em partições;
- A hipótese de que a carga seria distribuída entre os consumidores, uma vez que o consumidor pode selecionar uma partição para leitura;
- Em experimento com um produtor, 8 partições e 8 consumidores, observou-se que um consumidor processava a maior parte das mensagens, poucos consumidores recebiam algumas mensagens e a maioria dos consumidores não recebia mensagem alguma.

## Segunda Implementação com *Apache Flink*

- Implementação escrita em Scala ou Java;
- Processamento de fluxos *Stateful*;



**Figura 6:** Arquitetura Apache Flink.

Fonte: Apache Flink (2020).

- Falta de bibliotecas que distribuam algoritmos base como *K-means*;
- Gerenciador de trabalhos (*job manager*) e gerenciador de tarefas (*task manager*) ocupam mais de 1 GB em execuções consecutivas, portanto não é confiável para dispositivos pequenos.

## Terceira Implementação com MPI

- Implementado em linguagem C, OpenMPI 4.0.4, seguindo a técnica SPMD;
- Dividido em 2 módulos e 4 tarefas.
- `mpirun` cria processos, o processo de 0 executa o módulo raiz e os demais processos executam o módulo folha;
- Módulo raiz, com as tarefas Fonte e Detector, trata dos fluxos de entrada e saída além de gerenciar o conjunto de desconhecidos e a detecção de novidade;
- Módulo folha, com as tarefas Classificador e Atualiza Modelo, trata da classificação de cada exemplo e manutenção do modelo local de cada instância.

# Proposta - Implementação MPI

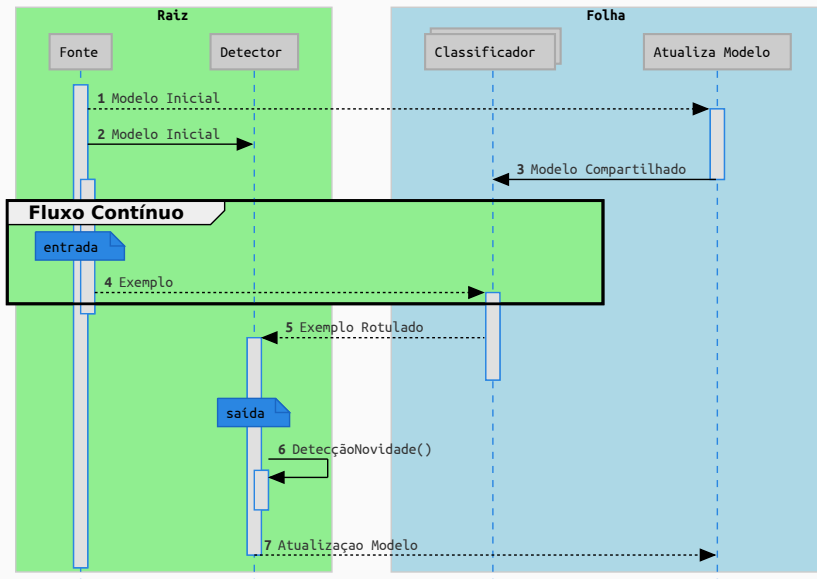


Figura 7: Arquitetura e fluxos de dados do M-FOG.

Fonte: O autor.

## Métricas e Ambientes

- Métricas de qualidade de classificação:
  - Avaliação do fluxo de saída do classificador em uma matriz de confusão própria;
  - Taxa de desconhecidos, acurácia e erro por classe.

$$\mathbf{C} = \{c_1, c_2, \dots, c_m\} \quad (1)$$

$$\mathbf{Y} = \{y_1, y_2, \dots, y_k\} \quad (2)$$

$$\mathbf{L} = \{l_1, l_2, \dots, l_n\} = \mathbf{C}' \cup \{"-\"} \cup \mathbf{Y} \quad (3)$$

$$\mathbf{E}_x = (e_{ij}) \in \mathbb{N}^{m \times n} \quad (4)$$

$$A(l_j) = \begin{cases} \# & \text{se } l_j = "-"} \\ c_i & \text{se } \exists c_i = l_j : c_i \in \mathbf{C}' \\ c_i & \text{se } e_{ij} = \max\{e_{aj} : j \in [0, m]\} \end{cases} \quad (5)$$

$$UnkR_{x,i} = \frac{e_{ij} : l_j = "-"}{\sum_{j=1}^n e_{ij}} \quad (6)$$

$$tp_i = \sum_{j=1}^n e_{ij} \text{ se } l_j \neq "- \text{ e } A(l_j) = c_i \quad (7)$$

$$fn_i = \sum_{j=1}^n e_{ij} \text{ se } l_j \neq "- \text{ e } A(l_j) \neq c_i \quad (8)$$

$$acc_x = \frac{1}{m} \sum_{i=1}^m \frac{tp_i}{fn_i + tp_i} \quad (9)$$

$$err_x = \frac{1}{m} \sum_{i=1}^m \frac{fn_i}{fn_i + tp_i} \quad (10)$$

## Métricas e Ambientes

- Métricas de escalabilidade:
  - Número e tipo de processadores;
  - Uso de memória;
  - Tempo de processamento;
  - Latência, tempo entre a entrada e saída de cada descritor de fluxo.
- Ambientes de teste:
  - Computador Pessoal (para desenvolvimento);
  - Nevoa composta de SBC (*Single Board Computer*) ARM 4 núcleos;
  - Conjunto de dados para IDS, Kyoto 2006+, segmento dezembro de 2015 como estabelecido por Cassales et al. (2019).

## Resultados

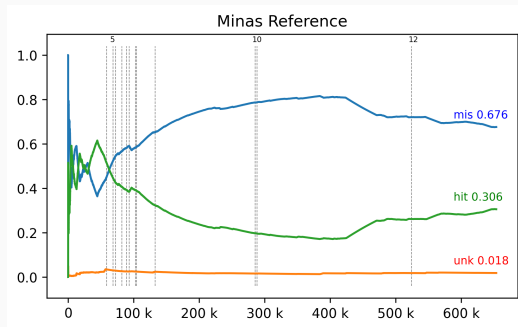
---



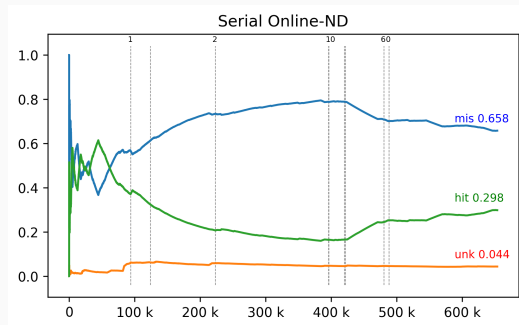
**Tabela 1:** Listagem dos principais experimentos.

<b>Experimento</b>	<b>Programa</b>	<b>Características</b>
<i>a-Referência</i>	MINAS referência 2013	Raio é a distância máxima.
<i>b-Sequencial</i>	MINAS sequencial para validação	Raio é o desvio padrão das distâncias; Modelo único; Remoção de desconhecidos mais agressivo.
<i>c-Paralelo</i>	M-FOG 1 nó, 4 processadores	Classificadores paralelos; Detecção de novidade assíncrona.
<i>d-Distribuído</i>	M-FOG 3 nós, 12 processadores	Mais processadores; Comunicação em rede.

# Resultados - Validação



(a) Experimento *a-Referência*, implementação de referência do algoritmo MINAS.

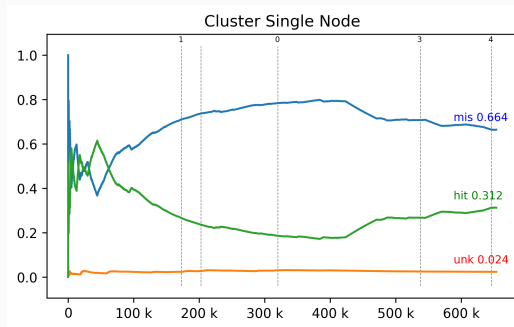


(b) Experimento *b-Sequencial*, M-FOG sequencial.

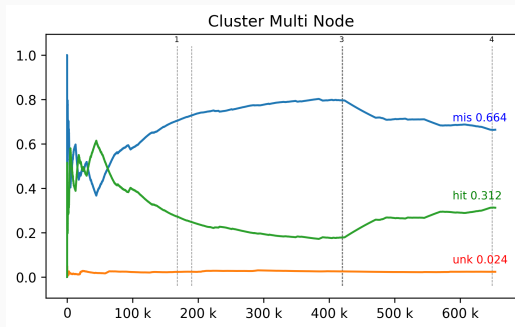
**Figura 8:** Visualização de fluxo do conjunto *Kyoto Dez.* 2015.

**Fonte:** O autor.

# Resultados - Efeitos Distribuição



(a) Experimento *c-Paralelo*, M-FOG com 1 nó e 4 núcleos.



(b) Experimento *d-Distribuído*, M-FOG com 3 nós de 4 núcleos cada.

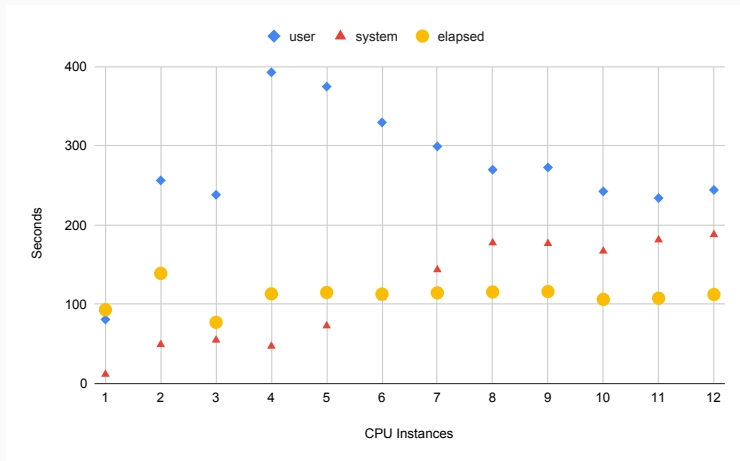
**Figura 9:** Visualização de fluxo do conjunto *Kyoto* Dez. 2015.

**Fonte:** O autor.

**Tabela 2:** Sumário das métricas extraídas dos experimentos principais.

Experimento Métrica	<i>a-Referência</i>	<i>Offline</i>	<i>b-Sequencial</i>	<i>c-Paralelo</i>	<i>d-Distribuído</i>
unk	0.018333		0.043717	0.023521	0.023718
hit	0.305618		0.298438	0.312416	0.312478
err	0.676049		0.657843	0.664061	0.663802
Novidades	12		9	5	5
Tempo (s)	2761.83	194.12	80.79	522.10	207.14
Sistema (s)	7.15	0.075	11.51	47.77	157.61
Decorrido (s)	2772.07	194.27	93.03	145.04	95.38
Latência (s)	$4.24 \cdot 10^{-3}$		$1.42 \cdot 10^{-4}$	$2.22 \cdot 10^{-4}$	$1.46 \cdot 10^{-4}$
Processadores	1	1	1	4	12
<i>Speedup</i>				0.6414092	0.9753617
Eficiência				0.1603523	0.0812801

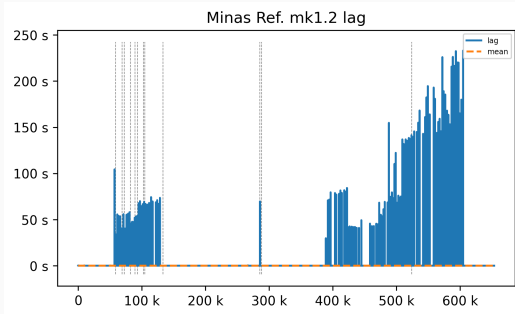
## Resultados - Variação Processadores



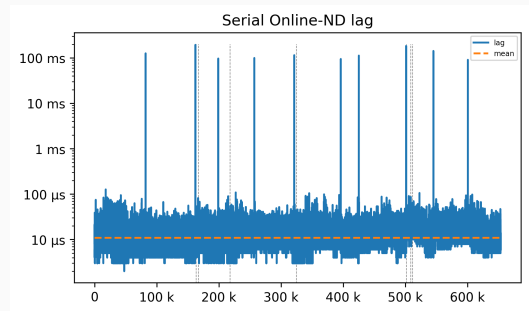
**Figura 10:** Métricas de tempo para execuções do M-FOG com variação no número de processadores.

**Fonte:** O autor.

## Resultados - Latência (i)



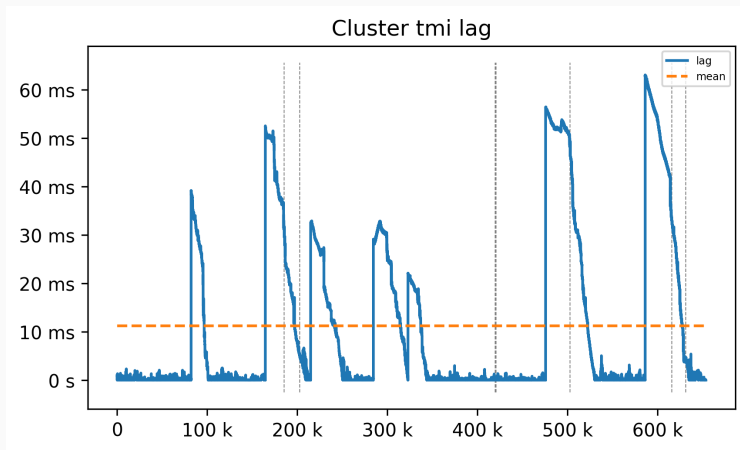
(a) Implementação de referência.



(b) Implementação sequencial.

**Figura 11:** Visualização de Latência.

Fonte: O autor.



(c) Implementação paralela.

**Figura 11:** Visualização de Latência.

Fonte: O autor.

## Conclusão

---



## Resultados obtidos:







- Algoritmo MINAS distribuído e a arquitetura IDSA-IoT implementada com modificações;
- Distribuição tem pequeno efeito sobre as métricas de qualidade;
  - Maior efeito é a redução de etiquetas novidade na versão distribuída;
- Resultados mostram que a implementação M-FOG não atinge escala pelo CCR e eficiência;


## Trabalhos futuros:

- Da arquitetura: Distribuição do modelo entre redes distintas (conjuntos aditivos);
- Na implementação:
  - Outros algoritmos de agrupamento (CluStream);
  - Estratégia de otimização da distribuição de carga (micro ou mini batching);
  - Outras plataformas de processamento otimizadas para o ambiente névoa;
- No algoritmo:
  - Explorar distribuição espacial dos clusters (polígonos sem sobreposição, árvore de busca);
  - Algoritmo com modelo de tamanho fixo (máxima precisão com recursos disponíveis);


- Artigo aceito na trilha principal da 21ª Conferência Internacional em Computação Científica e suas Aplicações (ICCSA 2021, <https://iccsa.org/>) em Cagliari, Itália, Setembro 13-16 2021 (PUHL et al., Em via de publicação);
- Código fonte com experimentos e métodos publicamente disponíveis em <https://github.com/luis-puhl/minas-flink>.


**Obrigado!**


-  AGGARWAL, C. C. et al. A framework for clustering evolving data streams. *Proceedings - 29th International Conference on Very Large Data Bases, VLDB 2003*, p. 81–92, 2003.
-  Apache Flink. *Apache Flink*. 2020. Disponível em: [〈https://flink.apache.org/〉](https://flink.apache.org/).
-  CASSALES, G. W. et al. Ilsa-iot: An intrusion detection system architecture for iot networks. In: *2019 IEEE Symposium on Computers and Communications (ISCC)*. [s.n.], 2019. p. 1–7. ISBN 978-1-7281-2999-0. ISSN 1530-1346. Disponível em: [〈https://ieeexplore.ieee.org/document/8969609/〉](https://ieeexplore.ieee.org/document/8969609/).
-  FARIA, E. R. de; CARVALHO, A. C. Ponce de L. F.; GAMA, J. Minas: multiclass learning algorithm for novelty detection in data streams. *Data Mining and Knowledge Discovery*, v. 30, n. 3, p. 640–680, May 2016. ISSN 1573-756X. Disponível em: [〈https://doi.org/10.1007/s10618-015-0433-y〉](https://doi.org/10.1007/s10618-015-0433-y).
-  GAMA, J.; RODRIGUES, P. P. *Knowledge Discovery from Data Streams*. [S.l.]: Chapman and Hall/CRC, 2010. ISBN 9781439826119.
-  IEEE Communications Society. *IEEE Std 1934-2018: IEEE Standard for Adoption of OpenFog Reference Architecture for Fog Computing*. IEEE, 2018. 176 p. ISBN 9781504450171. Disponível em: [〈https://ieeexplore.ieee.org/document/8423800〉](https://ieeexplore.ieee.org/document/8423800).


 KAMBOURAKIS, G.; KOLIAS, C.; STAVROU, A. The Mirai botnet and the IoT Zombie Armies. In: *MILCOM 2017 - 2017 IEEE Military Communications Conference (MILCOM)*. IEEE, 2017. v. 2017-Octob, p. 267–272. ISBN 978-1-5386-0595-0. Disponível em: <http://ieeexplore.ieee.org/document/8170867/>.


 KREPS, J. *Questioning the Lambda Architecture* – O'Reilly. 2014. 10 p. Disponível em: <https://www.oreilly.com/radar/questioning-the-lambda-architecture/>.


 LOPEZ, M. E. A. *A monitoring and threat detection system using stream processing as a virtual function for Big Data*. Tese (Theses) — Sorbonne Université ; Universidade federal do Rio de Janeiro, Jun 2018. Disponível em: <https://tel.archives-ouvertes.fr/tel-02111017>.

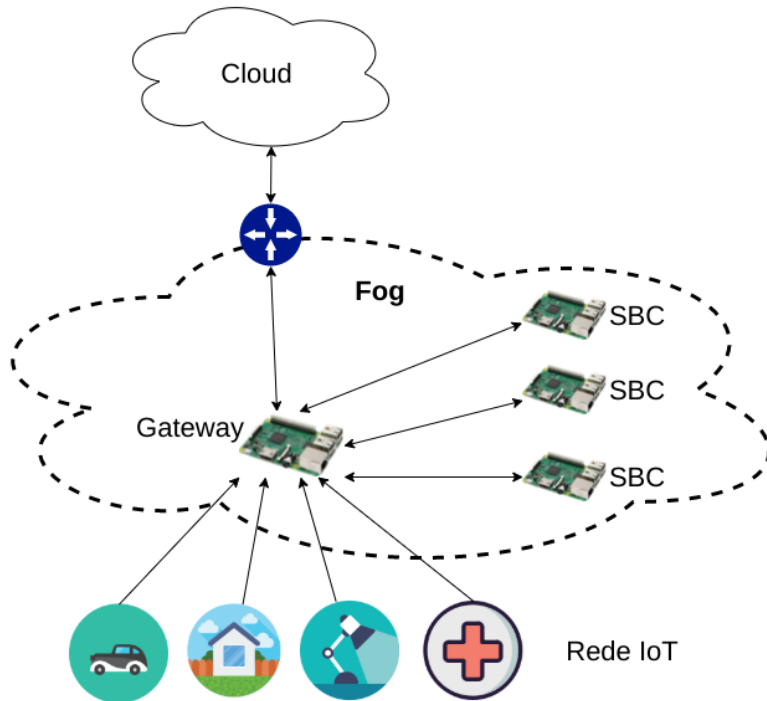
 MELL, P.; GRANCE, T. The NIST definition of cloud computing: Recommendations of the National Institute of Standards and Technology. In: NATIONAL INSTITUTE OF STANDARDS AND TECHNOLOGY. *Public Cloud Computing: Security and Privacy Guidelines*. National Institute of Standards and Technology, 2012. p. 97–101. ISBN 9781620819821. Disponível em: <http://faculty.winthrop.edu/domanm/csci411/Handouts/NIST.pdf>.

 PUHL, L. et al. Distributed novelty detection at the edge for iot network security. In: *The 21st International Conference on Computational Science and its Applications – ICCSA 2021*. [S.l.]: Springer International Publishing, Em via de publicação.

 SANZ, I. J.; LOPEZ, M. A. Um sistema de detecção de ameaças distribuídas de rede baseado em aprendizagem por grafos. In: *Anais do XXXVI Simpósio Brasileiro de Redes de Computadores e Sistemas Distribuídos*. Porto Alegre, RS, Brasil: SBC, 2018. ISSN 2177-9384. Disponível em: <https://sol.sbc.org.br/index.php/sbrc/article/view/2487>.

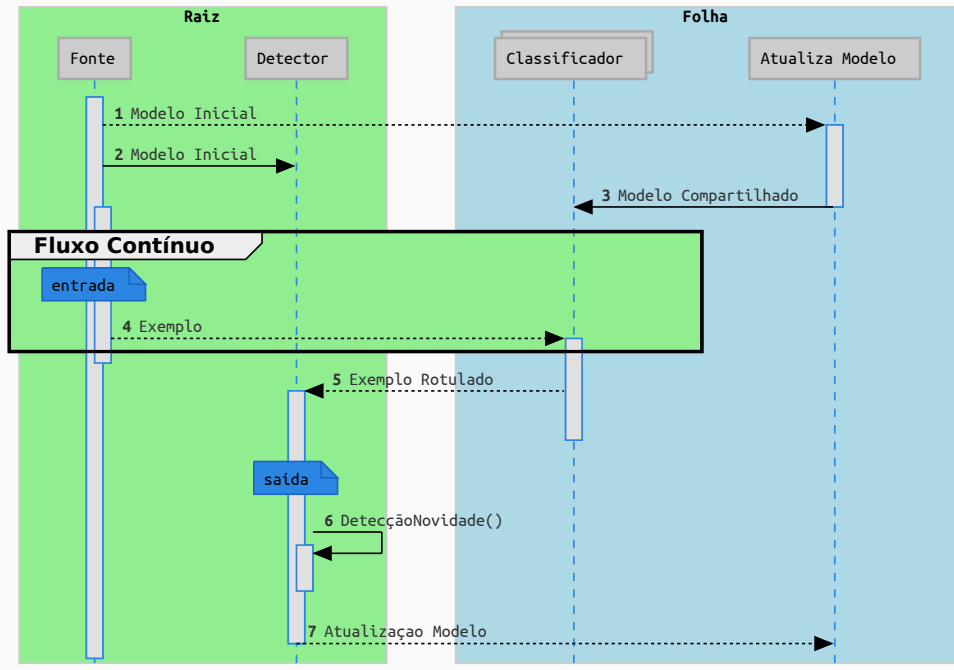
 SHI, W. et al. Edge computing: Vision and challenges. *IEEE Internet of Things Journal*, Institute of Electrical and Electronics Engineers Inc., v. 3, n. 5, p. 637–646, oct 2016. ISSN 23274662. Disponível em: <https://ieeexplore.ieee.org/abstract/document/7488250>.

 VIEGAS, E. et al. Bigflow: Real-time and reliable anomaly-based intrusion detection for high-speed networks. *Future Generation Computer Systems*, Elsevier, v. 93, p. 473 – 485, 2019. ISSN 0167-739X. Disponível em: <http://www.sciencedirect.com/science/article/pii/S0167739X18307635>.

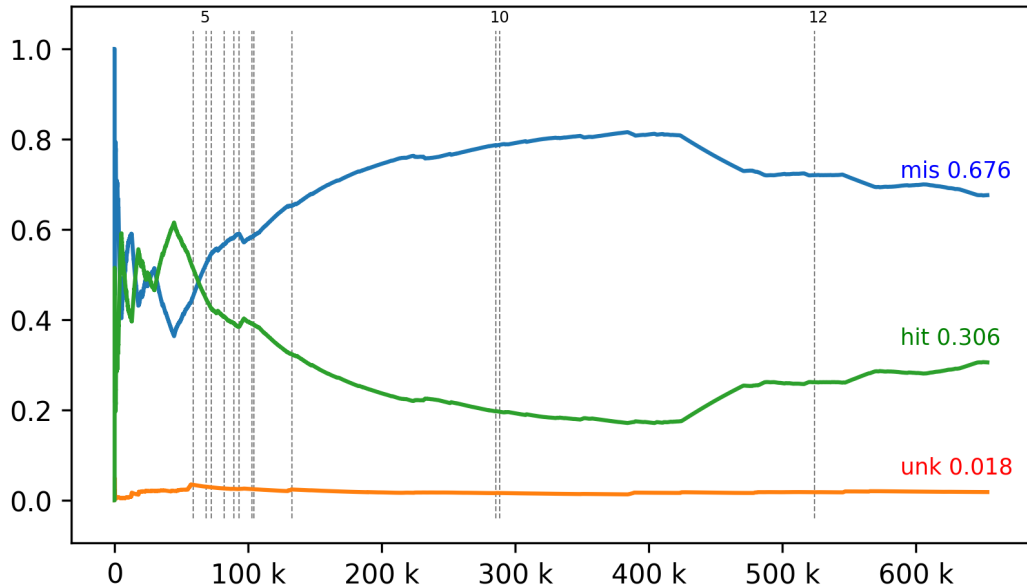








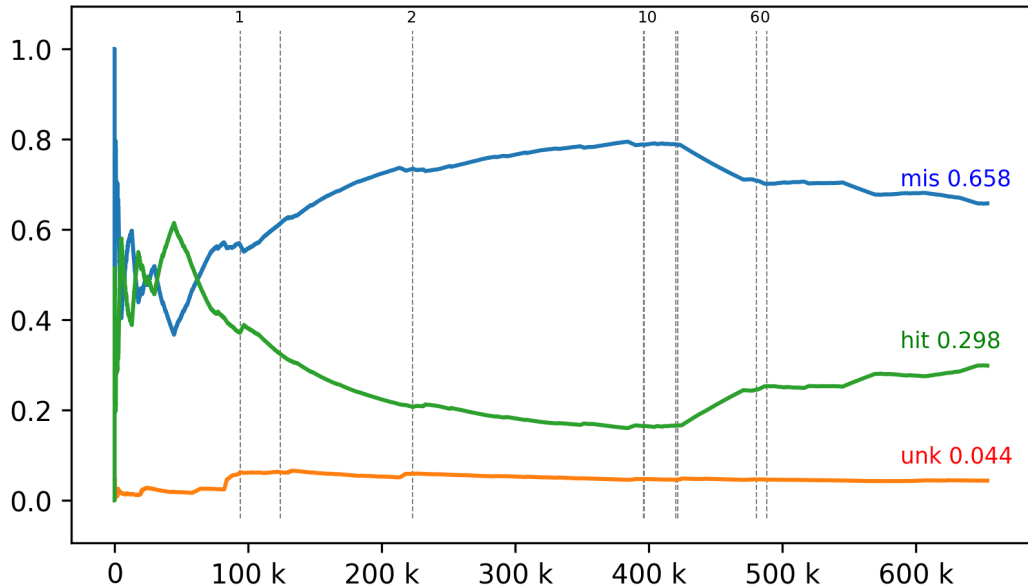
# Minas Reference



**Tabela 3:** Experimento *a-Referência*, Matriz de confusão, *Kyoto* Dez. 2015.

Rótulos	-	N	1	2	3	4	5	6	7	8	9	10	11	12
Classes														
A	3 774	438 750	123	145	368	8	52	165	1	1 046	161	2 489	71	26
N	8 206	193 030	0	79	44	0	0	0	229	181	154	4 066	289	0
Associação	-	N	A	A	A	A	A	A	N	A	A	N	N	A
Hits ( <i>tp</i> )	0	193 030	123	145	368	8	52	165	229	1 046	161	4 066	289	26

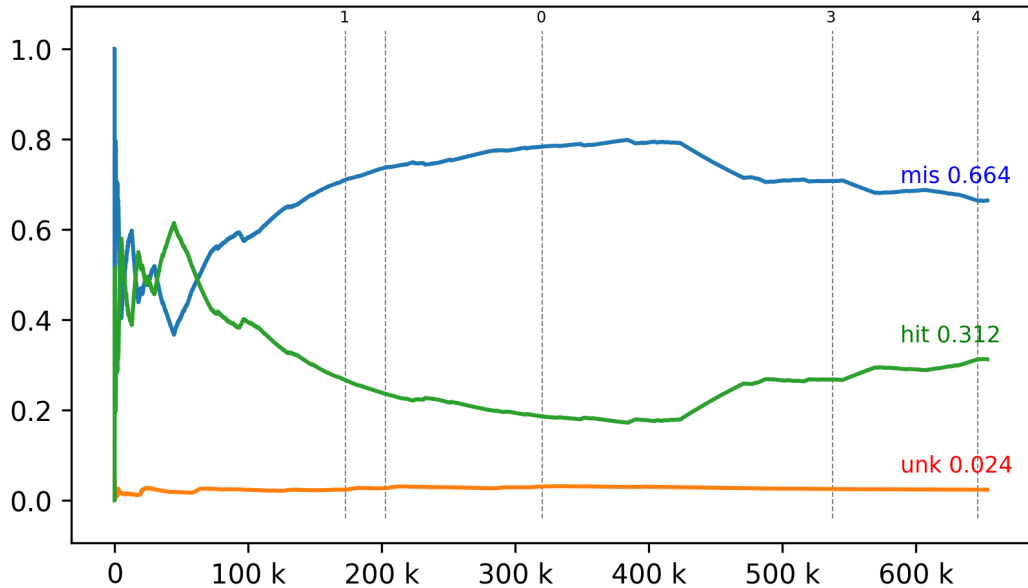
## Serial Online-ND



**Tabela 4:** Experimento *b-Sequencial*, Matriz de confusão, *Kyoto* Dez. 2015.

Rótulos	-	N	0	1	2	4	5	6	7	8	10
Classes											
A	16 086	429 765	94	995	104	0	23	3	29	46	34
N	12 481	193 642	3	94	0	47	0	0	0	11	0
Associação	-	N	A	A	A	N	A	A	A	A	A
Hits ( <i>tp</i> )	0	193 642	94	995	104	47	23	3	29	46	34

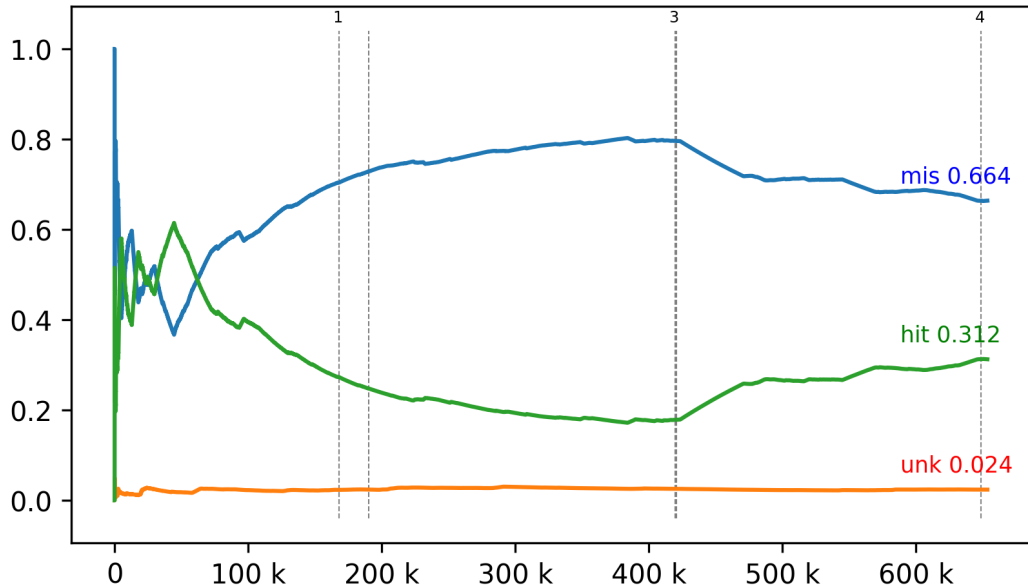
Cluster Single Node



**Tabela 5:** Experimento *c-Paralelo*, M-FOG com 1 nó e 4 núcleos, Matriz de confusão, *Kyoto Dez.* 2015.

Rótulos	-	N	0	1	2	3	4
Classes							
A	12 282	433 797	147	952	0	0	1
N	3 088	203 019	40	99	27	5	0
Associação	-	N	A	A	N	N	A
Hits ( <i>tp</i> )	0	203 019	147	952	27	5	1

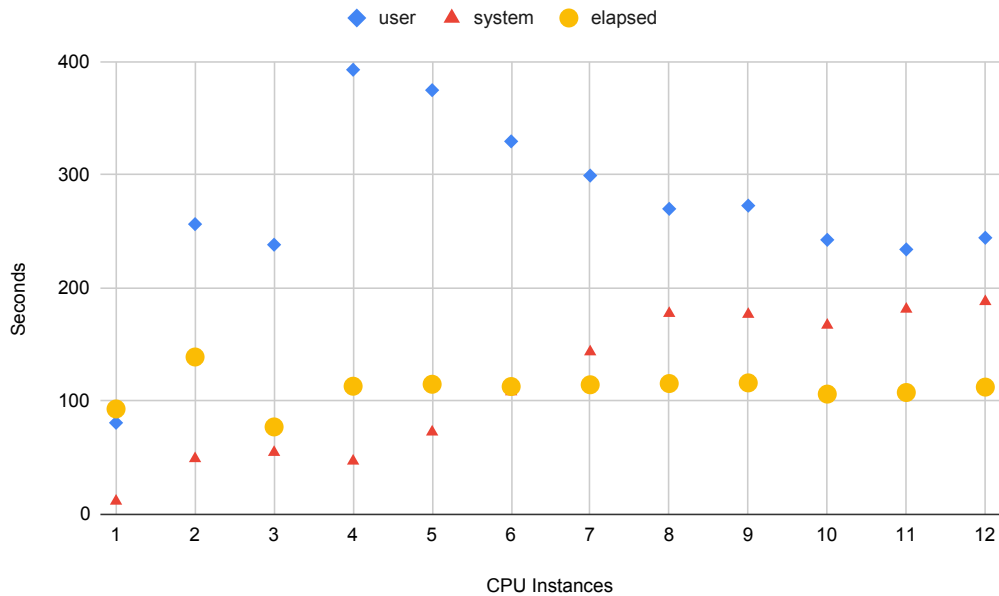
## Cluster Multi Node



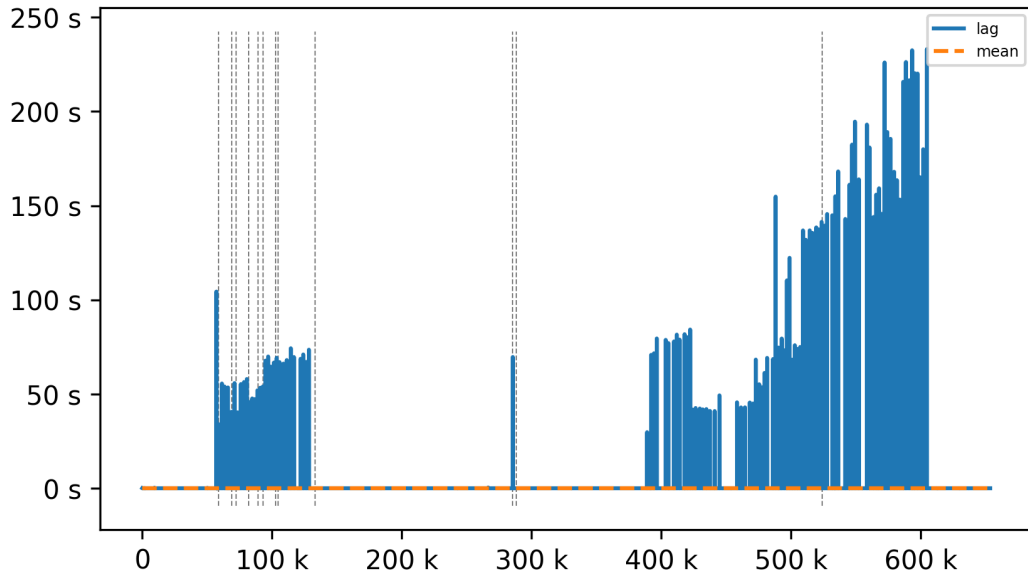


**Tabela 6:** Experimento *d-Distribuído*, M-FOG com 3 nós de 4 núcleos cada, Matriz de confusão, *Kyoto* Dez. 2015.

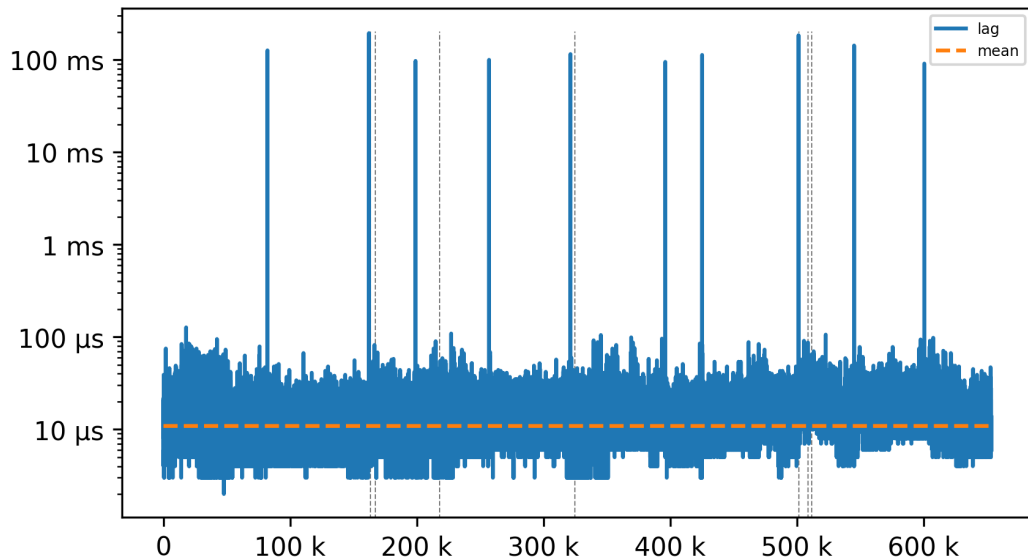
Rótulos	-	N	0	1	2	3	4
Classes							
A	12 378	433 631	117	886	0	162	5
N	3 121	202 916	40	96	105	0	0
Associação	-	N	A	A	N	A	A
Hits ( <i>tp</i> )	0	202 916	117	886	105	162	5



Minas Ref. mk1.2 lag



## Serial Online-ND lag



Cluster tmi lag

